

INSTITUTO DE TECNOLOGIA - UFPA
FACULDADE DE ENG. MECÂNICA

DISCIPLINA: MECÂNICA DOS SÓLIDOS II

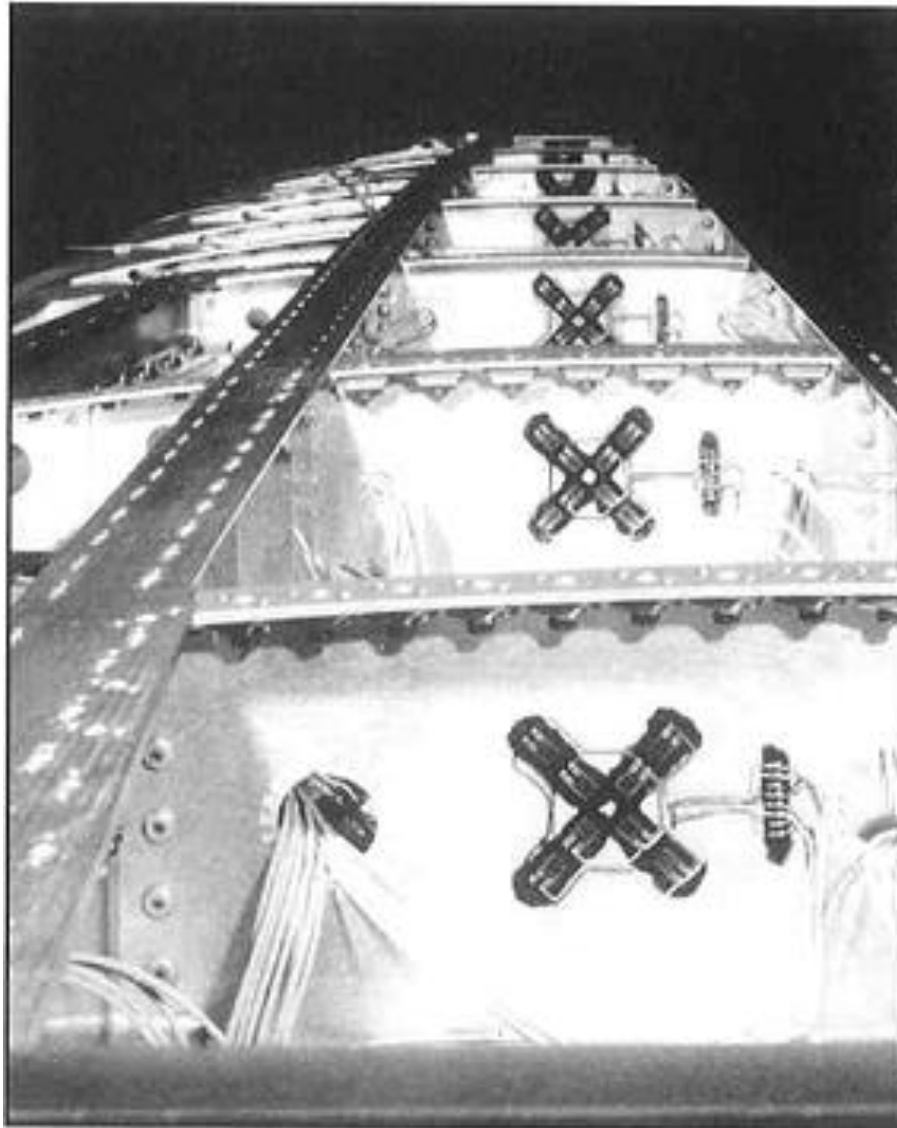
Parte 2:

Transformações de Deformações

Professor: Leonardo Dantas Rodrigues



TRANSFORMAÇÕES DE DEFORMAÇÕES



Tensões complexas desenvolvidas em uma asa de avião analisadas com dados obtidos por meio de extensômetros

TRANSFORMAÇÕES DE DEFORMAÇÕES – ESTADO PLANO

- As transformações de deformações em um ponto são similares às transformações de tensões. Assim, boa parte dos procedimentos adotados na Parte 1 serão simplesmente adaptados aqui;
- Trataremos aqui sempre de **deformações específicas**, que são adimensionais.

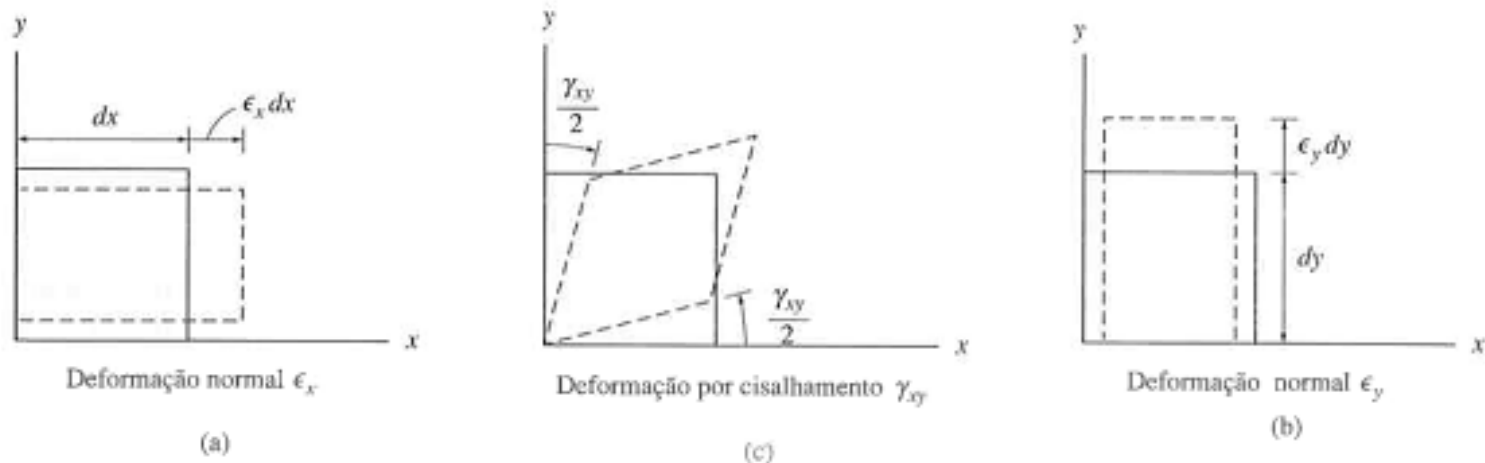


Figura 2.1

TRANSFORMAÇÕES – ESTADO PLANO

Vamos supor que existe um estado plano de deformações no ponto Q da figura 2.2a (com $\epsilon_z = \gamma_{xz} = \gamma_{yz} = 0$), e que ele é definido pelas componentes de deformação ϵ_x , ϵ_y e γ_{xy} associadas com os eixos x e y. Nosso objetivo é determinar em termos de ϵ_x , ϵ_y , γ_{xy} e θ , as componentes de deformação $\epsilon_{x'}$, $\epsilon_{y'}$ e $\gamma_{x'y'}$ associadas com o sistema de referência x'-y', obtido pela rotação de x-y num ângulo θ (figura 2.2b).

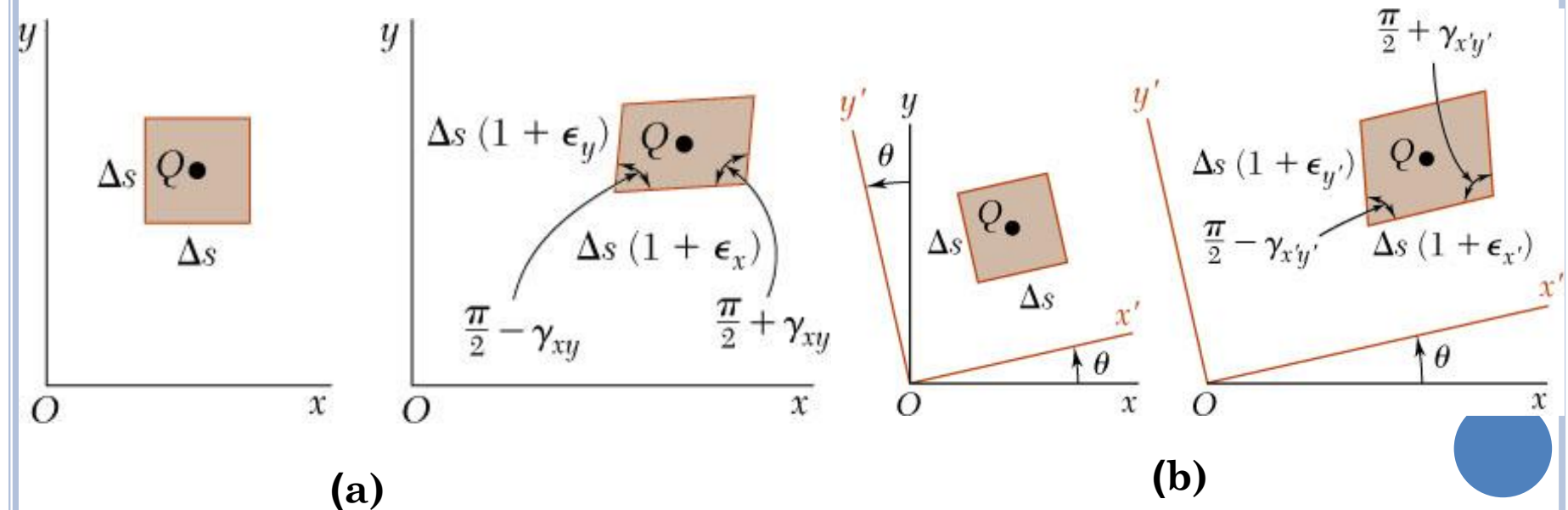
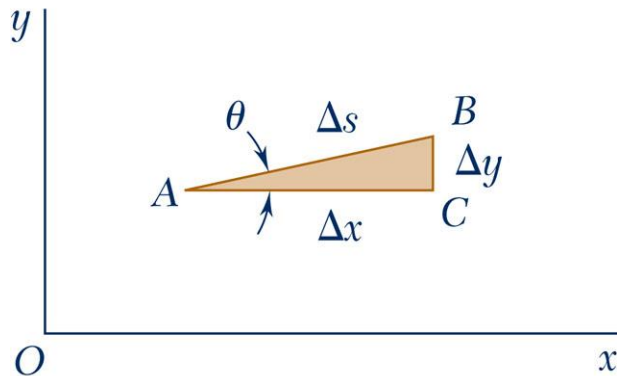


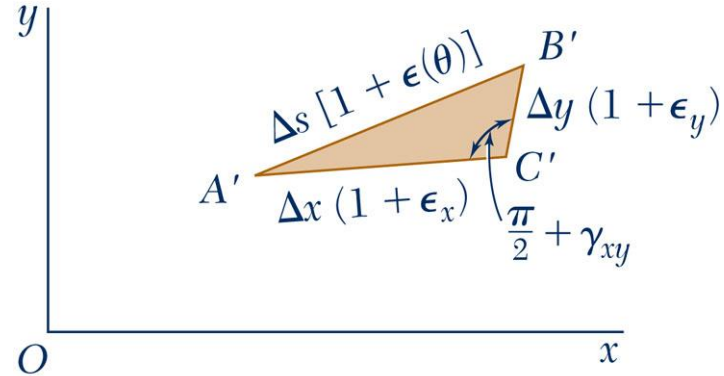
Figura 2.2

TRANSFORMAÇÕES – ESTADO PLANO

Para essa dedução, usaremos os triângulos da figura 2.3 para representar os paralelogramos da figura 2.2.



(a)



(b)

Figura 2.3

Aplicando a lei dos cossenos na figura 2.3b, tem-se que:

$$(A'B')^2 = (A'C')^2 + (B'C')^2 - 2(A'C')(B'C')\cos\left(\frac{\pi}{2} + \gamma_{xy}\right)$$

$$(\Delta s)^2[1 + \epsilon(\theta)]^2 = (\Delta x)^2[1 + \epsilon_x]^2 + (\Delta y)^2[1 + \epsilon_y]^2$$

$$- 2(\Delta x)^2[1 + \epsilon_x]^2(\Delta y)^2[1 + \epsilon_y]^2 \cos\left(\frac{\pi}{2} + \gamma_{xy}\right) \quad (2.1)$$

TRANSFORMAÇÕES – ESTADO PLANO

Da figura 2.3, sabemos que:

$$\Delta x = (\Delta s) \cos \theta \quad e \quad \Delta y = (\Delta s) \operatorname{sen} \theta \quad (2.2)$$

Considerando que γ_{xy} é muito pequeno, temos que:

$$\cos \left(\frac{\pi}{2} + \gamma_{xy} \right) = -\operatorname{sen}(\gamma_{xy}) \approx -\gamma_{xy} \quad (2.3)$$

Substituindo (2.2) e (2.3) em (2.1), desprezando os termos de segunda ordem e sabendo que $\operatorname{sen}^2 \theta + \cos^2 \theta = 1$, temos:

$$\varepsilon(\theta) = \varepsilon_x \cos^2 \theta + \varepsilon_y \operatorname{sen}^2 \theta + \gamma_{xy} \operatorname{sen} \theta \cos \theta \quad (2.4)$$

Definindo $\varepsilon_{x'}$ na direção x' (θ) e $\varepsilon_{y'}$ na direção y' ($\theta+90^\circ$) e usando (1.4) e (1.5), temos:

$$\varepsilon_\theta = \varepsilon_{x'} = \frac{\varepsilon_x + \varepsilon_y}{2} + \frac{\varepsilon_x - \varepsilon_y}{2} \cos 2\theta + \frac{\gamma_{xy}}{2} \operatorname{sen} 2\theta \quad (2.5)$$

$$\varepsilon_{y'} = \frac{\varepsilon_x + \varepsilon_y}{2} - \frac{\varepsilon_x - \varepsilon_y}{2} \cos 2\theta - \frac{\gamma_{xy}}{2} \operatorname{sen} 2\theta \quad (2.6)$$



TRANSFORMAÇÕES – ESTADO PLANO

Aplicando um ângulo $\theta = 45^\circ$ na eq. (2.4), obtemos a deformação normal específica na direção da bissetriz do ângulo formado pelos eixos x e y (figura 2.4) . Chamando essa deformação de ε_{OB} , temos:

$$\varepsilon_{OB} = \varepsilon(45^\circ) = \frac{1}{2}(\varepsilon_x + \varepsilon_y + \gamma_{xy}) \quad (2.7)$$

Isolando o termo γ_{xy} em (2.7), temos:

$$\gamma_{xy} = 2\varepsilon_{OB} - (\varepsilon_x + \varepsilon_y) \quad (2.8)$$

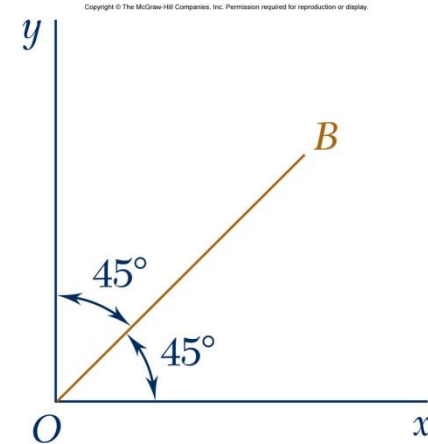


Figura 2.4

A equação (2.8) permite expressar a **deformação de cisalhamento associada a três deformações normais**: duas ortogonais (x e y) e uma na direção da bissetriz do ângulo formado pelas duas primeiras.

Esta relação é de extrema importância no uso de rosetas extensométricas.

TRANSFORMAÇÕES – ESTADO PLANO

Para definir $\gamma_{x'y'}$ a partir de ε_x , ε_y , γ_{xy} e θ , primeiro, encontraremos $\varepsilon_{OB'}$, que é a deformação normal específica ao longo da bissetriz do ângulo formado por x' e y' . Para isto, substituímos θ por $\theta+45^\circ$ na equação (2.4) e usamos $\cos(2\theta+90^\circ) = -\sin(2\theta)$ e $\sin(2\theta+90^\circ) = \cos(2\theta)$:

$$\varepsilon_{OB'} = \frac{\varepsilon_x + \varepsilon_y}{2} - \frac{\varepsilon_x - \varepsilon_y}{2} \sin(2\theta) + \frac{\gamma_{xy}}{2} \cos(2\theta) \quad (2.9)$$

Escrevendo (2.8) em termos de x' e y' , temos:

$$\gamma_{x'y'} = 2\varepsilon_{OB'} - (\varepsilon_{x'} + \varepsilon_{y'}) \quad (2.10)$$

Substituindo a equação (2.9) em (2.10) e sabendo que, no estado plano, tem-se $\varepsilon_x + \varepsilon_y = \varepsilon_{x'} + \varepsilon_{y'}$, temos:

$$\gamma_{x'y'} = -(\varepsilon_x - \varepsilon_y) \sin(2\theta) + \gamma_{xy} \cos(2\theta)$$

 (2.11)



TRANSFORMAÇÕES – ESTADO PLANO

Por uma questão de compatibilização, costuma-se dividir a equação (2.11) por 2:

$$\frac{\gamma_{\theta}}{2} = \frac{\gamma_{x'y'}}{2} = -\frac{(\varepsilon_x - \varepsilon_y)}{2} \operatorname{sen}(2\theta) + \frac{\gamma_{xy}}{2} \cos(2\theta) \quad (2.12)$$

Assim, nota-se a grande semelhança entre as equações (2.5), (2.6) e (2.12) e as obtidas para transformações de tensões na **Parte 1**.

Deve-se, sempre atentar para o fato de que, os valores de τ_{xy} e $\tau_{x'y'}$ deverão ser substituídos por $\Upsilon_{xy}/2$ e $\Upsilon_{x'y'}/2$, respectivamente, para obter-se as expressões de deformações a partir das expressões de tensões.



DEFORMAÇÕES PRINCIPAIS

Analogamente ao que ocorre para as tensões, no elemento onde ocorrem as deformações principais (máxima e mínima), também não há deformações de cisalhamento.

Chega-se às direções e valores das deformações principais pelos mesmos procedimentos utilizados para as tensões. Tem-se:

$$tg(2\theta_p) = \frac{\gamma_{xy}}{(\varepsilon_x - \varepsilon_y)} \quad (2.13)$$

$$\varepsilon_{1,2} = \left(\frac{\varepsilon_x + \varepsilon_y}{2} \right) \pm \sqrt{\left(\frac{\varepsilon_x - \varepsilon_y}{2} \right)^2 + \left(\frac{\gamma_{xy}}{2} \right)^2} \quad (2.14)$$



DEFORMAÇÃO DE CISALHAMENTO MÁXIMA NO PLANO

$$\operatorname{tg}(2\theta_c) = -\frac{(\varepsilon_x - \varepsilon_y)}{\gamma_{xy}} \quad (2.13)$$

$$\frac{\gamma_{\max}}{2} = \sqrt{\left(\frac{\varepsilon_x - \varepsilon_y}{2}\right)^2 + \left(\frac{\gamma_{xy}}{2}\right)^2} \quad (2.14)$$

E a deformação média associada, calcula-se por:

$$\varepsilon_{med} = \frac{(\varepsilon_x + \varepsilon_y)}{2} \quad (2.15)$$



TRANSFORMAÇÕES – ESTADO PLANO

Exemplo 2.1: O elemento infinitesimal que representa um ponto do material está sujeito ao estado plano de deformações:

$$\varepsilon_x = 500 \cdot 10^{-6}, \quad \varepsilon_y = -300 \cdot 10^{-6} \quad e \quad \gamma_{xy} = 200 \cdot 10^{-6}$$

O elemento tende a ser distorcido como mostra a figura 2.5. Determinar as deformações que atuam em um elemento orientado a 30° no sentido horário em relação à posição original

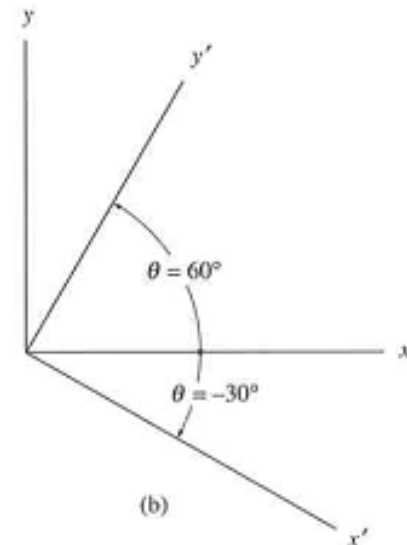
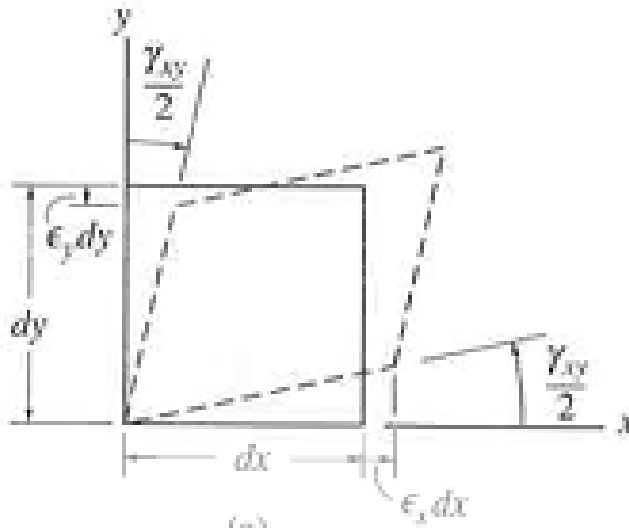



Figura 2.5

TRANSFORMAÇÕES – ESTADO PLANO

Exemplo 2.1: Solução

Basta aplicar as equações 2.5, 2.6 e 2.12 , tendo como base a figura 2.5 e a convenção estabelecida de que ângulos no sentido horário são negativos.

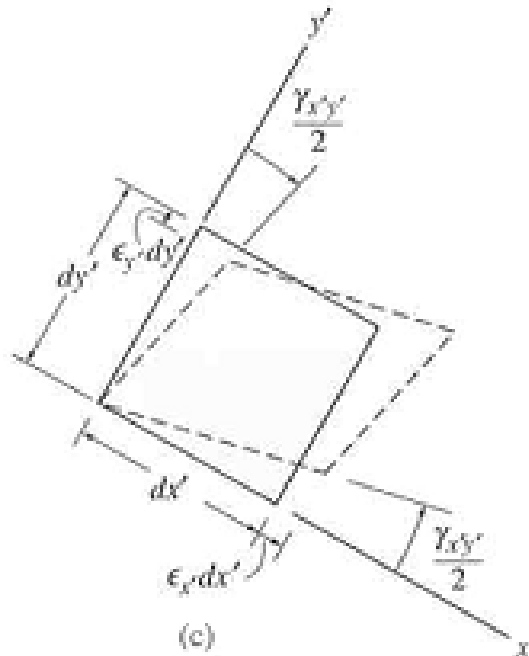
$$\begin{aligned}\varepsilon_{x'} = & \left[\frac{500 + (-300)}{2} \right] \cdot (10^{-6}) + \left[\frac{500 - (-300)}{2} \right] \cdot (10^{-6}) \cos(2 \cdot (-30^\circ)) \\ & + \frac{200 \cdot (10^{-6})}{2} \operatorname{sen}(2 \cdot (-30^\circ)) \Rightarrow \boxed{\varepsilon_{x'} = 213,4 \cdot (10^{-6})}\end{aligned}$$

$$\begin{aligned}\varepsilon_{y'} = & \left[\frac{500 + (-300)}{2} \right] \cdot (10^{-6}) - \left[\frac{500 - (-300)}{2} \right] \cdot (10^{-6}) \cos(2 \cdot (-30^\circ)) \\ & - \frac{200 \cdot (10^{-6})}{2} \operatorname{sen}(2 \cdot (-30^\circ)) \Rightarrow \boxed{\varepsilon_{y'} = -13,4 \cdot (10^{-6})}\end{aligned}$$


TRANSFORMAÇÕES – ESTADO PLANO

Exemplo 2.1: Solução

$$\frac{\gamma_{x'y'}}{2} = - \left[\frac{500 - (-300)}{2} \right] \cdot (10^{-6}) \cdot \text{sen}(2(-30^\circ))$$
$$+ \frac{200 \cdot (10^{-6})}{2} \cos(2(-30^\circ)) \Rightarrow \boxed{\gamma_{x'y'} = 793 \cdot (10^{-6})}$$



TRANSFORMAÇÕES – ESTADO PLANO

Exercício 2.1: O elemento infinitesimal que representa um ponto do material está sujeito ao estado plano de deformações:

$$\varepsilon_x = -350.(10^{-6}), \quad \varepsilon_y = 200.(10^{-6}) \text{ e } \gamma_{xy} = 80.(10^{-6})$$

O elemento tende a ser distorcido como mostra a figura 2.6. Determinar as deformações principais e as direções das mesmas. Representar o elemento onde elas ocorrem.

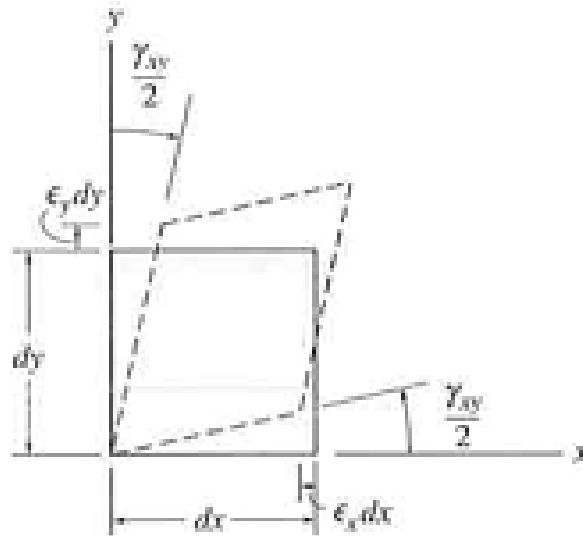


Figura 2.6

TRANSFORMAÇÕES – ESTADO PLANO

Exercício 2.2: O elemento infinitesimal que representa um ponto do material está sujeito ao estado plano de deformações:

$$\varepsilon_x = -350.(10^{-6}), \quad \varepsilon_y = 200.(10^{-6}) \text{ e } \gamma_{xy} = 80.(10^{-6})$$

O elemento tende a ser distorcido como mostra a figura 2.7. Determinar a deformação máxima de cisalhamento no plano e a orientação do elemento onde ela ocorre.

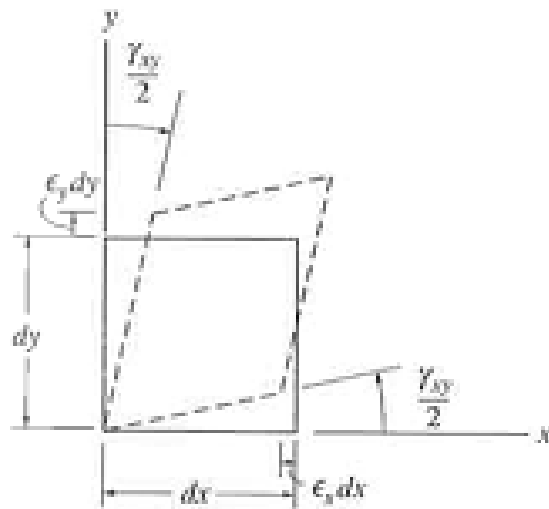
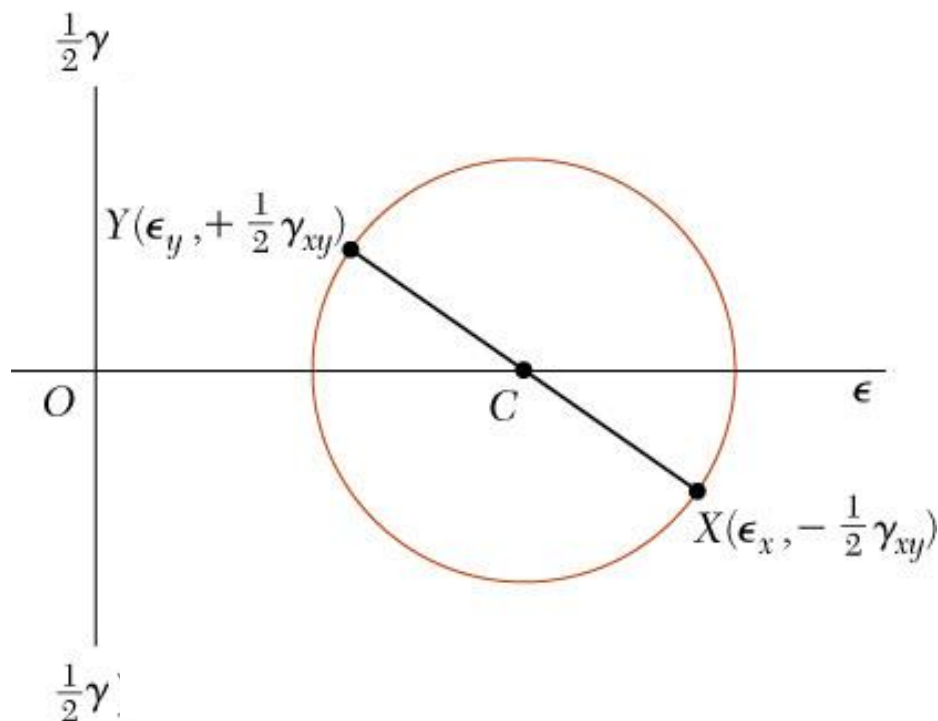


Figura 2.7

CÍRCULO DE MOHR – ESTADO PLANO

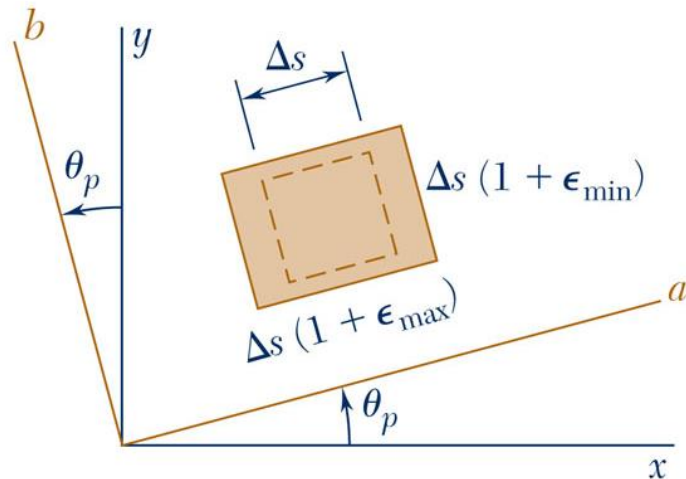
As equações para a transformação do estado plano de deformação são da mesma forma que as equações para a transformação do estado plano de tensão. Portanto, o Círculo de Mohr também pode ser aplicado para análise de deformações e será construído de forma similar à demonstrada para tensões.



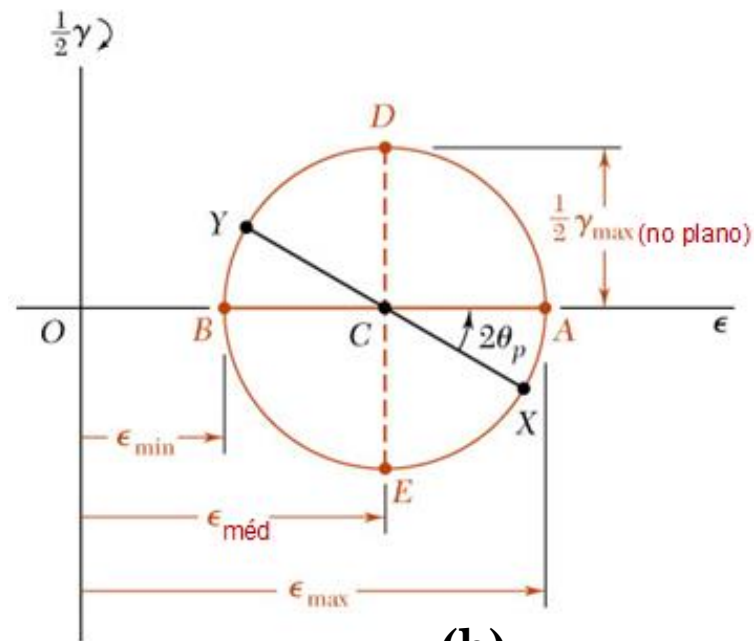
Notar que a grande diferença do círculo das deformações com relação ao de tensões é o **termo de cisalhamento aparecer sempre dividido por 2.**

Figura 2.8

CÍRCULO DE MOHR – ESTADO PLANO



(a)



(b)

A abscissa do centro C e o raio R são, respectivamente iguais a:

$$\epsilon_{\text{méd}} = \frac{\epsilon_x + \epsilon_y}{2} \quad R = \sqrt{\left(\frac{\epsilon_x - \epsilon_y}{2}\right)^2 + \left(\frac{\gamma_{xy}}{2}\right)^2}$$

As deformações principais:

$$\epsilon_{\text{max}} = \epsilon_{\text{méd}} + R$$

$$\epsilon_{\text{min}} = \epsilon_{\text{méd}} - R$$

Máxima deformação de cisalhamento no plano:

$$\gamma_{\text{max}} = 2R = \sqrt{(\epsilon_x - \epsilon_y)^2 + \gamma_{xy}^2}$$



CÍRCULO DE MOHR – ESTADO PLANO

Exercício 2.3: Para o estado plano de deformações indicado pela figura 2.10:

(a) Construir do círculo de Mohr; e determinar: (b) os planos principais e as deformações principais, (c) a deformação de cisalhamento máxima e a deformação normal média correspondente.

Copyright © The McGraw-Hill Companies, Inc. Permission required for reproduction or display.

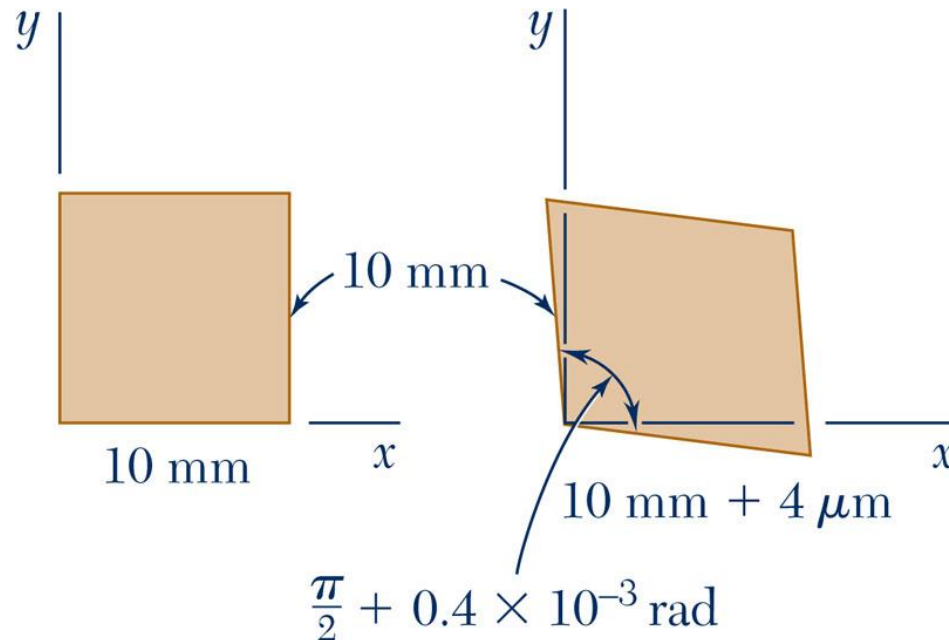
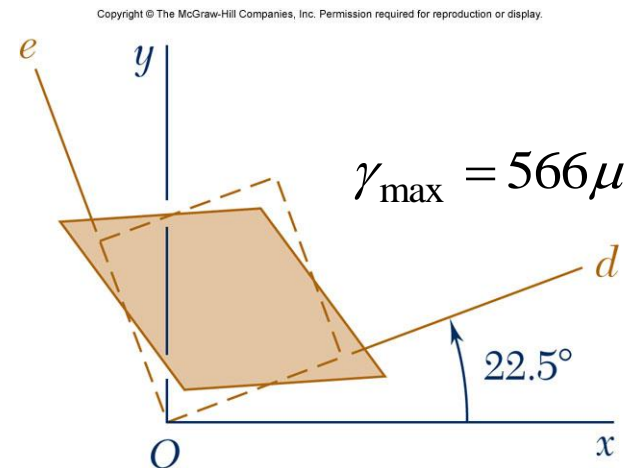
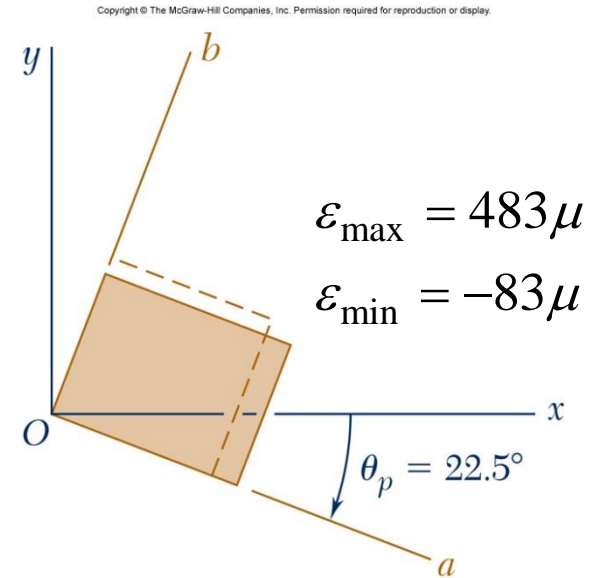
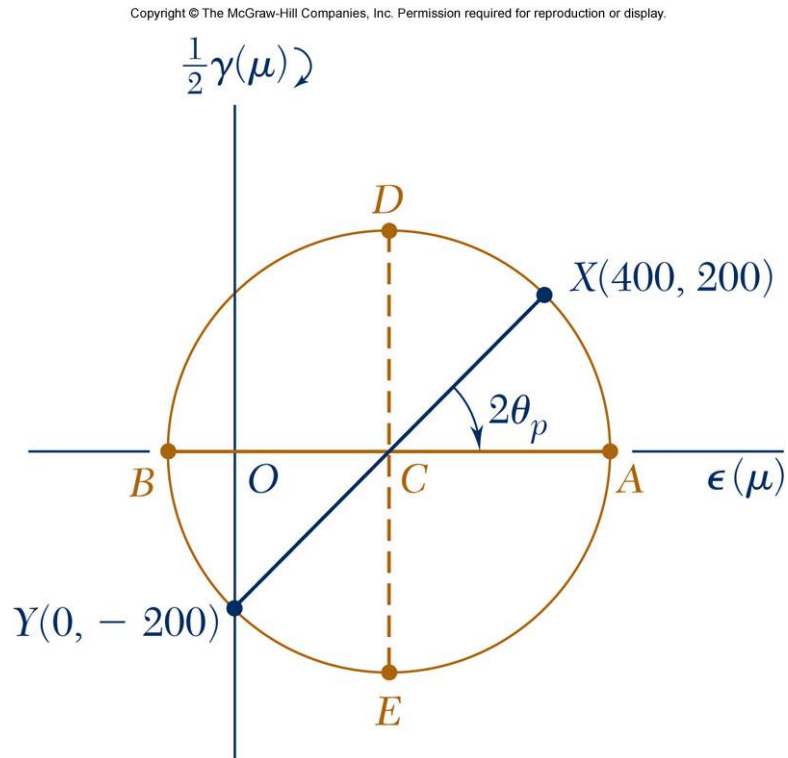


Figura 2.10

CÍRCULO DE MOHR – ESTADO PLANO

Exercício 2.3: Respostas



ANÁLISE TRIDIMENSIONAL DE DEFORMAÇÕES

Na **Parte 1** foi demonstrado que existem três eixos principais de tal forma que as faces do elemento perpendicular a estes estão livres de tensões de cisalhamento. Pela Lei de Hooke, sabe-se que as deformações de cisalhamento também são nulas e que os planos principais de tensão também são os planos principais de deformação. Se $z \equiv c$ é um dos eixos principais, os outros dois eixos são coplanares a x e y . (figura 2.11)

Copyright © The McGraw-Hill Companies, Inc. Permission required for reproduction or display.

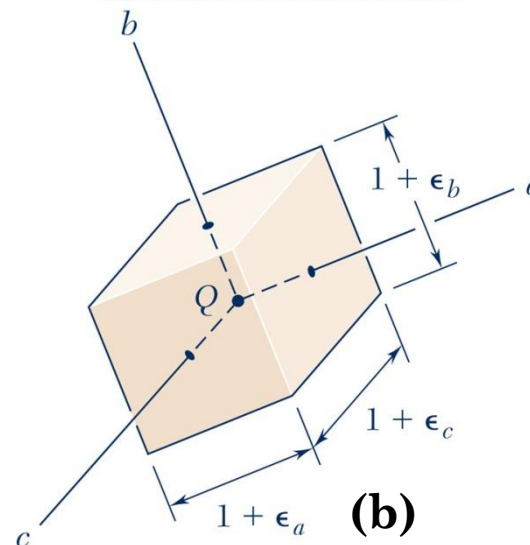
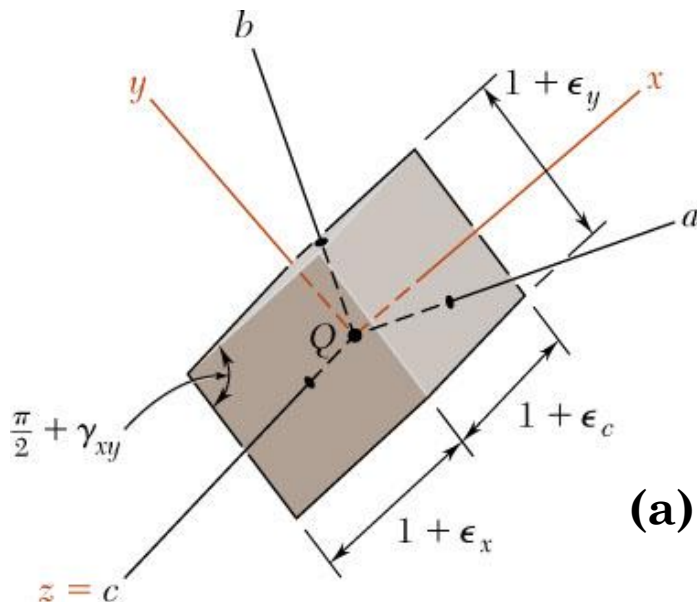
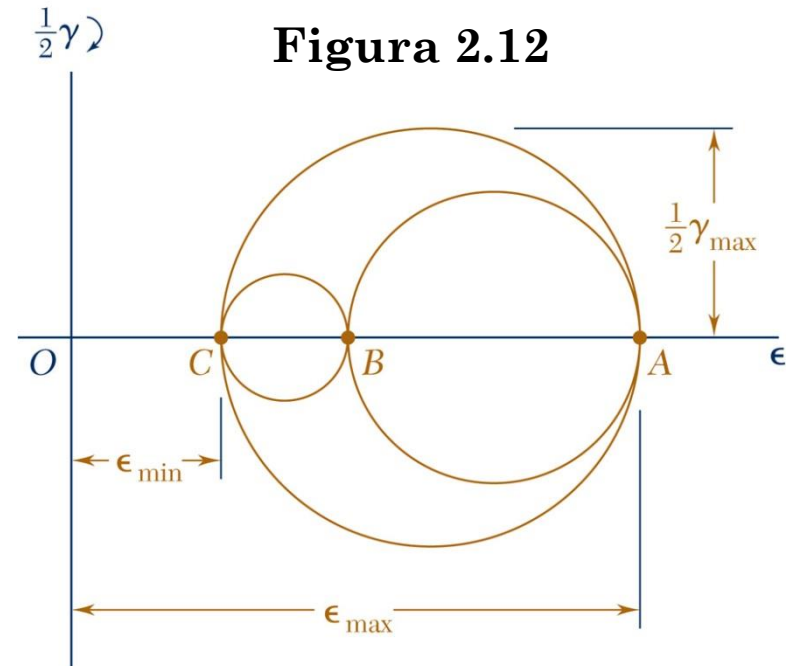


Figura 2.11

ANÁLISE TRIDIMENSIONAL DE DEFORMAÇÕES

Usamos, então, o círculo diâmetro AB para determinar as deformações, normal e de cisalhamento, que atuam nas faces do elemento quando ele sofre uma rotação em torno do eixo c (figura 2.11b). Analogamente, os círculos de diâmetros BC e AC são usados para determinar as deformações, normal e de cisalhamento, que atuam nas faces do elemento quando ele sofre uma rotação em torno do eixo a e b, respectivamente.

Copyright © The McGraw-Hill Companies, Inc. Permission required for reproduction or display.



**Máxima deformação
de cisalhamento
absoluta:**

$$\gamma_{\max_{abs}} = \epsilon_{\max} - \epsilon_{\min}$$

ANÁLISE TRIDIMENSIONAL DE DEFORMAÇÕES – PARTICULARIZAÇÃO PARA O ESTADO PLANO

Se os pontos A e B (representando as deformações **máxima e mínima**) estão em lados opostos da origem, então:

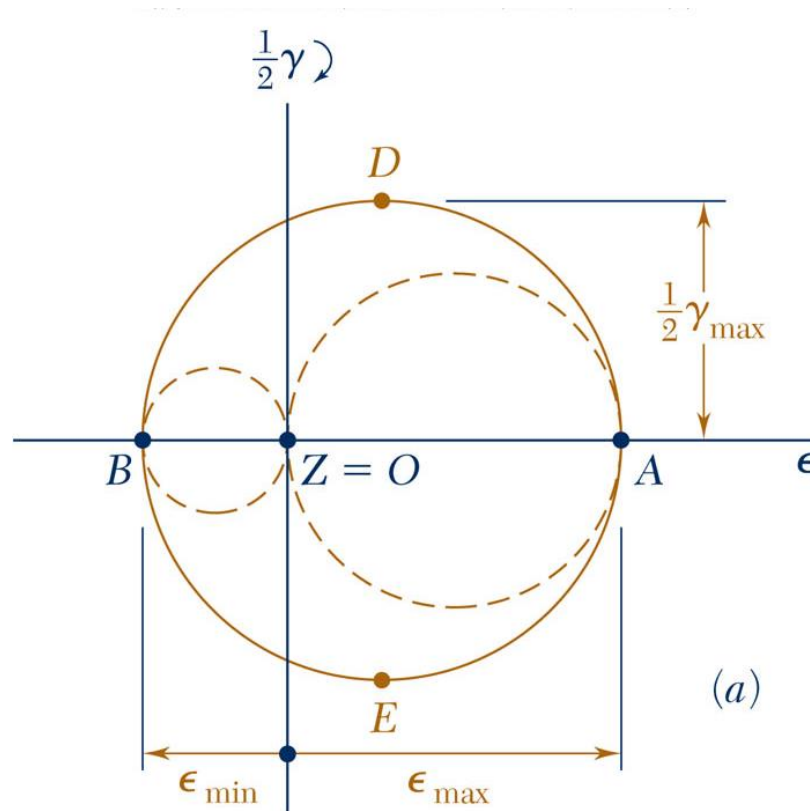


Figura 2.13

ANÁLISE TRIDIMENSIONAL DE DEFORMAÇÕES – PARTICULARIZAÇÃO PARA O ESTADO PLANO

Se os pontos A e B têm o mesmo sinal e **representam as deformações máxima e intermediária**, então:

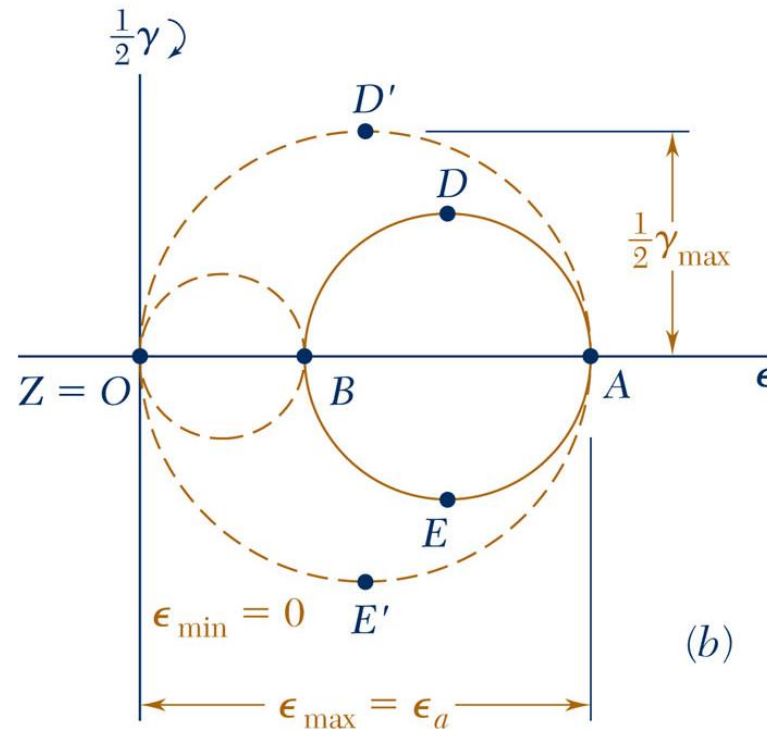
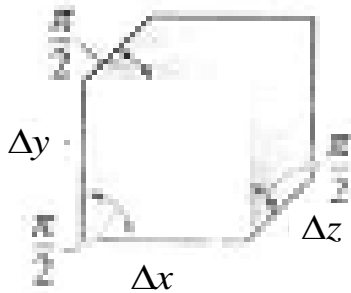


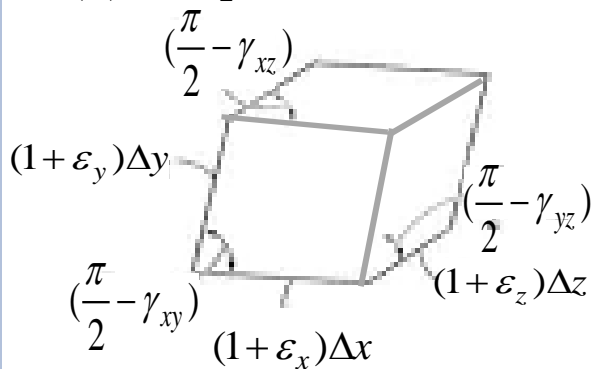
Figura 2.14

RELAÇÕES CONSTITUTIVAS (CASO GERAL)

Considerando que o elemento da figura 2.15 está submetido a tensões normais nas direções x, y e z e a tensões cisalhantes nos três planos, temos:



(a) Corpo indeformado



(b) Corpo deformado

Figura 2.15

$$\begin{aligned}
 \varepsilon_x &= +\frac{\sigma_x}{E} - \frac{\nu\sigma_y}{E} - \frac{\nu\sigma_z}{E} \\
 \varepsilon_y &= -\frac{\nu\sigma_x}{E} + \frac{\sigma_y}{E} - \frac{\nu\sigma_z}{E} \\
 \varepsilon_z &= -\frac{\nu\sigma_x}{E} - \frac{\nu\sigma_y}{E} + \frac{\sigma_z}{E} \\
 \gamma_{xy} &= \frac{\tau_{xy}}{G} \quad \gamma_{xz} = \frac{\tau_{xz}}{G} \quad \gamma_{yz} = \frac{\tau_{yz}}{G}
 \end{aligned} \tag{2.16}$$

Sendo: $G = \frac{E}{2(1+\nu)}$

RELAÇÕES CONSTITUTIVAS (CASO GERAL)

Isolando as tensões em 2.16, temos:

$$\begin{aligned}\sigma_x &= \frac{E}{(1-2\nu^2-\nu)} \left[(1-\nu)\varepsilon_x + \nu\varepsilon_y + \nu\varepsilon_z \right] \\ \sigma_y &= \frac{E}{(1-2\nu^2-\nu)} \left[(1-\nu)\varepsilon_y + \nu\varepsilon_x + \nu\varepsilon_z \right] \\ \sigma_z &= \frac{E}{(1-2\nu^2-\nu)} \left[(1-\nu)\varepsilon_z + \nu\varepsilon_x + \nu\varepsilon_y \right] \\ \tau_{xy} &= G\gamma_{xy} \quad \tau_{xz} = G\gamma_{xz} \quad \tau_{yz} = G\gamma_{yz}\end{aligned}\tag{2.17}$$



RELAÇÕES CONSTITUTIVAS (ESTADO PLANO DE TENSÕES)

Ter-se um estado plano de tensões num ponto (o que vai poder ser considerado em grande parte dos casos), **não implica, necessariamente, em um estado de deformações plano**. Na verdade, as deformações de cisalhamento relacionadas ao eixo z serão nulas, mas a deformação normal ε_z **será uma função de ε_x e ε_y** :

$$\begin{aligned}\varepsilon_z &= -\frac{\nu}{1-\nu}(\varepsilon_x + \varepsilon_y) \\ \gamma_{xz} &= \gamma_{yz} = 0\end{aligned}\tag{2.18}$$

Como as deformações cisalhantes em relação ao eixo z são nulas, tem-se claro que a deformação ε_z **será uma das deformações principais** no caso de um estado plano de tensões com “ $\sigma_z = \tau_{xz} = \tau_{yz} = 0$ ”.



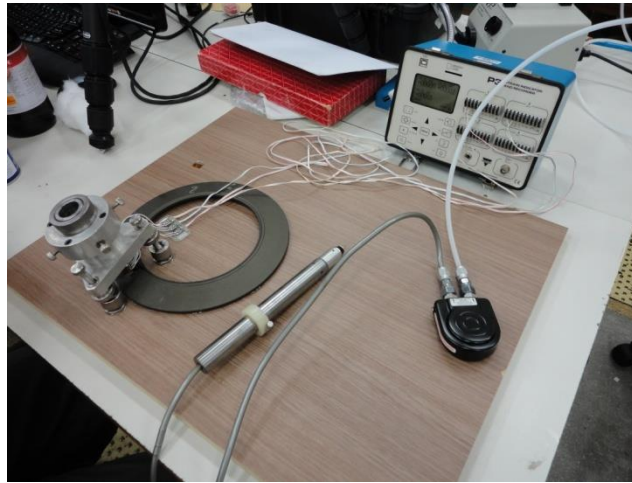
RELAÇÕES CONSTITUTIVAS (ESTADO PLANO DE TENSÕES)

Para o estado plano de tensões, substituindo 2.18 em 2.17, temos:

$$\begin{aligned}\sigma_x &= \frac{E}{(1-\nu^2)} [\varepsilon_x + \nu \varepsilon_y] \\ \sigma_y &= \frac{E}{(1-\nu^2)} [\varepsilon_y + \nu \varepsilon_x] \\ \sigma_z &= 0 \\ \tau_{xy} &= G \gamma_{xy} \quad \tau_{xz} = 0 \quad \tau_{yz} = 0\end{aligned}\tag{2.19}$$



MEDIÇÕES DE DEFORMAÇÕES ESPECÍFICAS (ROSETAS EXTENSOMÉTRICAS)



MEDIÇÕES DE DEFORMAÇÕES ESPECÍFICAS (ROSETAS EXTENSOMÉTRICAS)

Extensômetros de resistência elétrica (*strain gages*) medem deformação específica normal através de mudanças na resistência elétrica de sua grade de medição.

Figura 2.16



$$R = \rho \frac{L}{A}$$

R – resistência do fio

ρ - resistividade do fio

L - comprimento do fio

A – área da seção transversal

K – fator do extensômetro (*gage factor*)

$$\frac{\Delta R}{R} = K \varepsilon$$



MEDIÇÕES DE DEFORMAÇÕES ESPECÍFICAS (ROSETAS EXTENSOMÉTRICAS)

Rosetas
extensométricas
são constituídas
geralmente por três
extensômetros
juntos. Com esta
pode-se determinar
o estado plano de
deformações
atuantes em um
determinado ponto.

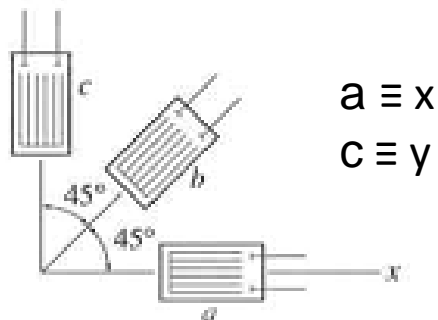
$$\varepsilon_{1,2} = \frac{\varepsilon_x + \varepsilon_y}{2} \pm \sqrt{\left(\frac{\varepsilon_x - \varepsilon_y}{2}\right)^2 + \left(\frac{\gamma_{xy}}{2}\right)^2}$$

$$\varepsilon_{\theta} = \frac{\varepsilon_x + \varepsilon_y}{2} + \frac{\varepsilon_x - \varepsilon_y}{2} \cos 2\theta + \frac{\gamma_{xy}}{2} \sin 2\theta$$

Para $\theta = 45^\circ$

$$\varepsilon_{\theta=45} = \frac{\varepsilon_x + \varepsilon_y}{2} + \frac{\varepsilon_x - \varepsilon_y}{2} \cos 2.45 + \frac{\gamma_{xy}}{2} \sin 2.45$$

$$\gamma_{xy} = 2.\varepsilon_{\theta=45} - \varepsilon_x - \varepsilon_y$$



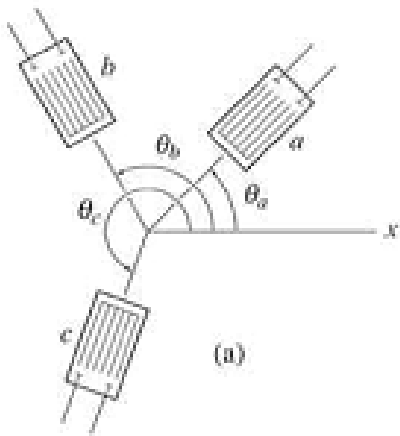
Roseta de 45°

Figura 2.17



MEDIÇÕES DE DEFORMAÇÕES ESPECÍFICAS (ROSETAS EXTENSOMÉTRICAS)

O mais comum é que se usem rosetas com extensômetros dispostos a 45° (figura 2.18). Porém, há no mercado outras configurações. O importante é que, para qualquer configuração, a medição de três valores de deformações num dado ponto, permite definir o estado de deformações ε_x , ε_y , γ_{xy} no mesmo.



$$\varepsilon_a = \varepsilon_x \cos^2 \theta_a + \varepsilon_y \sin^2 \theta_a + \gamma_{xy} \sin \theta_a \cos \theta_a$$

$$\varepsilon_b = \varepsilon_x \cos^2 \theta_b + \varepsilon_y \sin^2 \theta_b + \gamma_{xy} \sin \theta_b \cos \theta_b$$

$$\varepsilon_c = \varepsilon_x \cos^2 \theta_c + \varepsilon_y \sin^2 \theta_c + \gamma_{xy} \sin \theta_c \cos \theta_c$$

Resolvendo este sistema de três equações, obtém-se ε_x , ε_y , γ_{xy} .

Figura 2.18

MEDIÇÕES DE DEFORMAÇÕES ESPECÍFICAS (ROSETAS EXTENSOMÉTRICAS)

Exercício 2.4: A roseta de 45° está montada no elo da retroescavadeira (figura 2.19). As seguintes leituras foram obtidas em cada extensômetro:

$$\varepsilon_a = 650.(10^{-6}), \quad \varepsilon_b = -300.(10^{-6}) \text{ e } \varepsilon_c = 480.(10^{-6})$$

Determinar as deformações principais no plano, e suas orientações. Calcule também a máxima deformação de cisalhamento absoluta. Use $\nu = 0.3$.

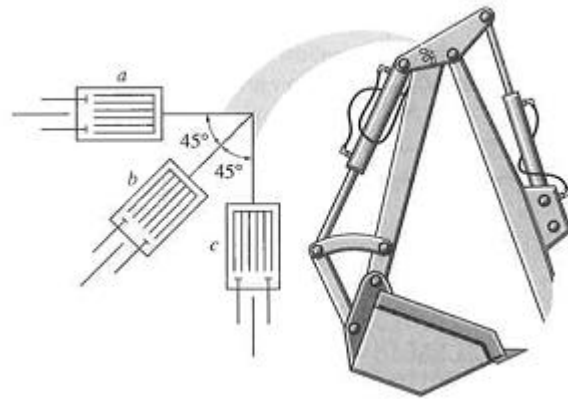


Figura 2.19

EXERCÍCIOS GERAIS



Exercício 2.5: O eixo tem raio de 15mm e é feito de um aço com módulo de elasticidade de 200 GPa e coeficiente de Poisson de 0,32. Determinar as deformações nas direções x' e y' se for aplicado um torque $T = 2$ kN.m.

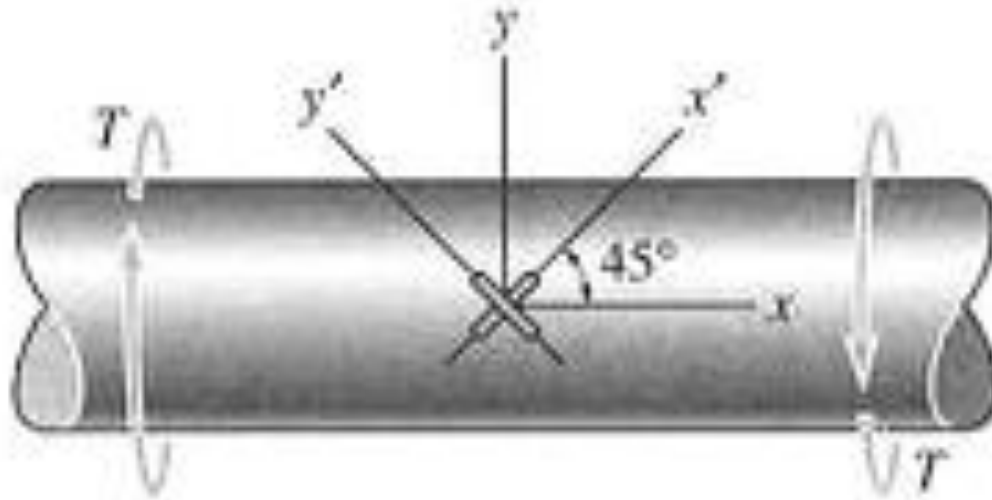


Figura 2.20



Exercício 2.6: Usando uma roseta de 60°, foram determinadas as seguintes deformações no ponto Q na superfície de uma base de máquina de aço: $\varepsilon_a = 40 \mu$, $\varepsilon_b = 980 \mu$ e $\varepsilon_c = 330 \mu$. Sabendo que se trata de um estado plano de tensões, determinar: a) as componentes ε_x , ε_y e γ_{xy} ; b) as **três** deformações principais; e (c) a deformação e a tensão de cisalhamento máxima absoluta; (usar $\nu = 0,29$ e $E = 200 \text{ GPa}$)

Para o estado plano de tensões:

$$\varepsilon_z = -\frac{\nu}{1-\nu}(\varepsilon_x + \varepsilon_y) = -\frac{\nu}{1-\nu}(\varepsilon_1 + \varepsilon_2)$$

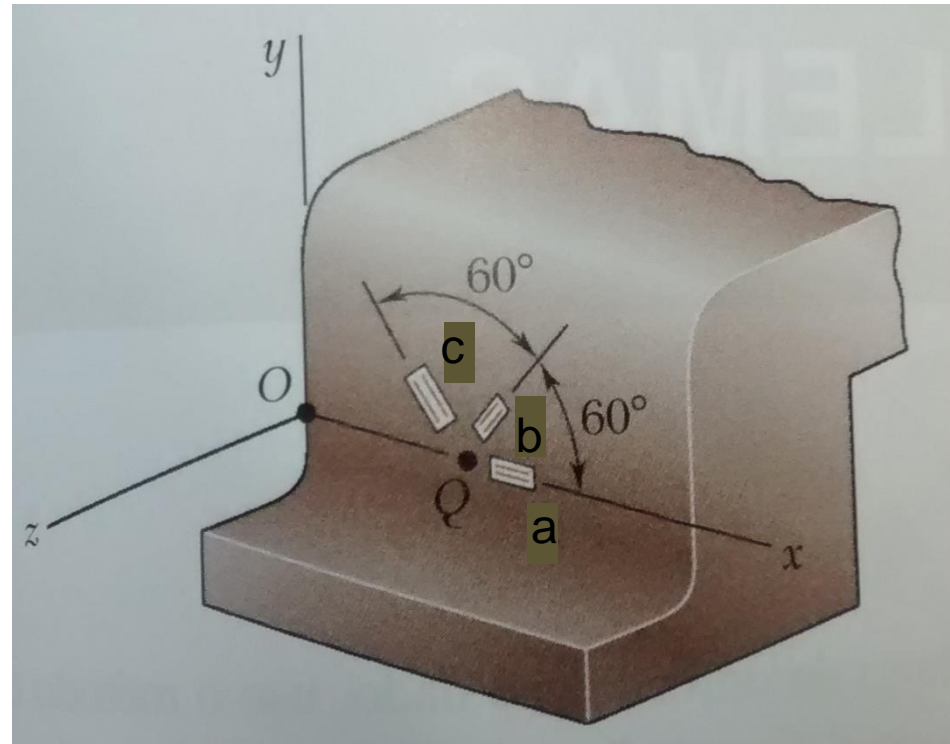


Figura 2.21

Exercício 2.7: Um extensômetro unidirecional é colado em um eixo de aço com seção transversal de 101,6 mm de diâmetro formando um ângulo $\beta = 25^\circ$ com uma linha paralela ao centro do eixo. Sabendo que $G = 79,3$ GPa, determine o torque indicado por uma leitura no extensômetro de 300μ .

Copyright © The McGraw-Hill Companies, Inc. Permission required for reproduction or display.

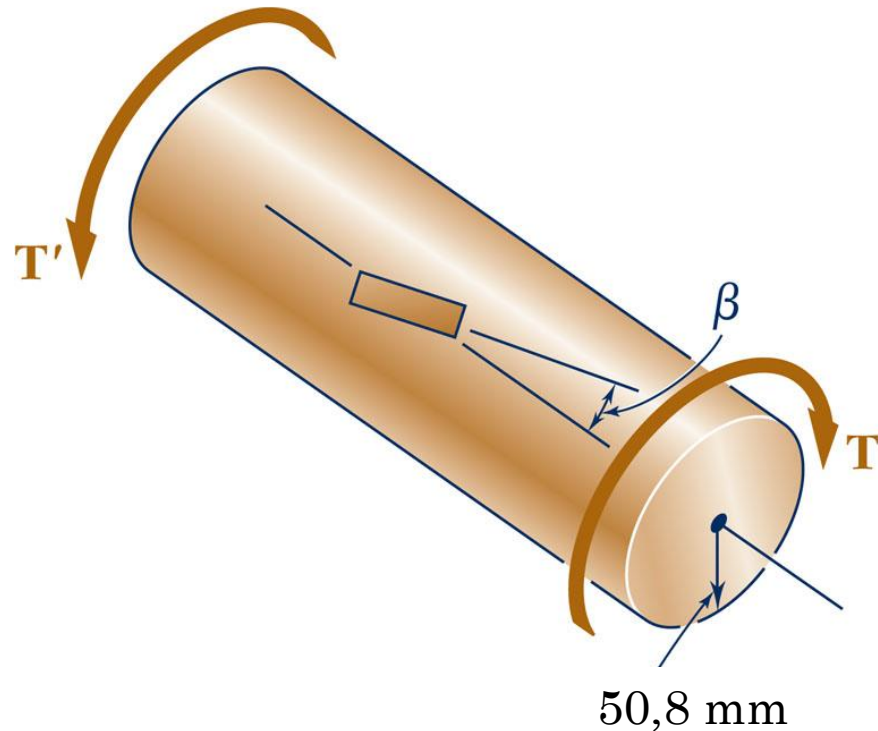


Figura 2.22

Exercício 2.8: Uma força axial centrada P e uma força horizontal Q_x são ambas aplicadas ao ponto C da barra de seção retangular mostrada na figura. Um roseta de 45° colada na superfície da barra no ponto A indica as seguintes deformações:

$$\varepsilon_a = -60.(10^{-6})$$

$$\varepsilon_b = +240.(10^{-6})$$

$$\varepsilon_c = +200.(10^{-6})$$

Sabendo que o módulo de elasticidade da barra é 200 GPa e que seu coeficiente de Poisson é 0,3, **determine as intensidades de P e Q_x .**

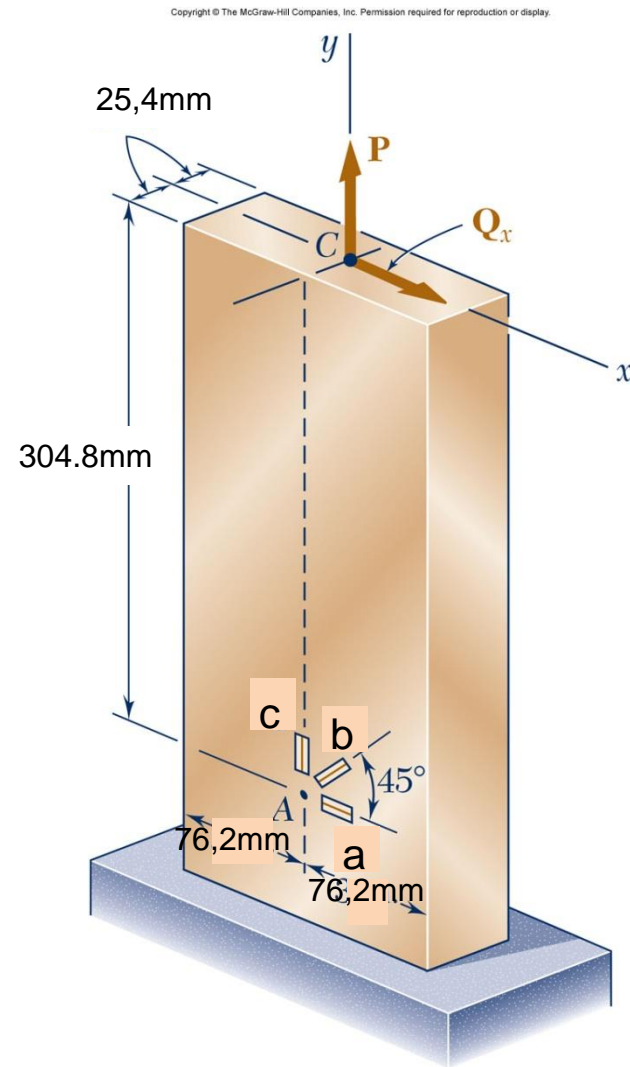


Figura 2.23